

(19)
(12)

(KR)
(B1)

(51) 。 Int. Cl.⁷
B05D 3/00
B05D 3/02

(45)
(11)
(24)

2004 06 12
10-0435923
2004 06 03

(21)	10-1999-7012197	(65)	10-2001-0014138
(22)	1999 12 23	(43)	2001 02 26
	1999 12 23		
(86)	PCT/US1997/012198	(87)	WO 1998/58749
(86)	1997 07 15	(87)	1998 12 30

(81) : , , , , , 가 ,

(30) 08/880,368 1997 06 23 (US)

(73) 920(:95066)

(72) , 94546 18923

92807 3845

(74)

:

(54)

- 가 70 % 가

가 가 가 , /
(contact start/stop; CSS)

가 , 가 가

가 가 가

가

가

가 (match)가

(competing)

(texturing)'

(deposition)

가 1

(NiP)

(Al-Mg)

(Al)-

(10)

(Cr)

Cr-

(11),

0)

(Co)-

(12),

(13)

(14)

(1

(sputtering)

Cr

Cr-

(11), Co-

(12)

(13)

(Al-Mg)

Al

가

NiP

가

(stiction),

(squareness),

가

(, 가 CSS

가

(Nakamura)

U.S.

5,202,810

가

가

(limiting facet)

(Ranjan)

U.S.

5,062,021

가

NiP가

Al

(specular)

(landing zone)

가

(spot)

[Baumgart et al. 'A New Laser Texturing Technique for High Performance Magnetic Disk Drive', IEEE Transactions on Magnetics, Vol. 31, No. 6, pp. 2946-2951, November 1995]

가 (Baumgart)

(sombbrero;

가

가 가

1996 6 27

08/666,374

1996 6 27

08/666,374

Ni-P가

Al

Al

Ni-P Al Al-

가

1,522 (Goto) U.S. 5,39

(Hoover) U.S. 5,273,834 가 1 5 (結晶粒)

가

가

(stress profile)

PCT PCT/US96/06830 (: 2674-012PCT) , CO₂

[Kuo et al., 'Laser Zone Texturing on Glass and Glass-Ceramic Substates']
 1996 8 19-21 (The Magnetic Recording Conference (TMRC))' . 1997 2 7 08/796,830

가 (quench rate)

가 (sensitivity)가

가

50 % 70 %

70 % 50 %

% 가 가 70

가 , , 120 400 240 650
 가 70 % , 150
 nm , 100nm , 7
 0 % , 50 % , 30 % ,
 2.44g/cc , 2.4255g/cc
 RF (21) CO₂ (20) 2
 (22) 가 (23) (44)
 (25) (22) (28) (27) (29) (26)
) (30) (26) (27) (29) (thermopile)

(CoCr), (CoSm), (CoCrTa), (CoNiCr),
 (CoNiPt), (CoCrSm), (CoNiCrPt), (CoCrPtTa), (CoCrPt), (Co)-
 (CoCrPtB)
 100 1000 200 500
 3 , 70 %
 r)(31) (30) (32), (33) (34) (seed layer)
 (31) (30)

(量)
 1 (A) (B) (A) (B)
 (A) (A) (B) 가

[1]

(gm/cc)	-	
A	2.44	2.39
B	3.00	2.63

4 (A) (B) 가 (transition temperature) (A)
 (B) 가 (B)

(B) (A)

5 (A) (B) 가

(B) (A) (量) 가

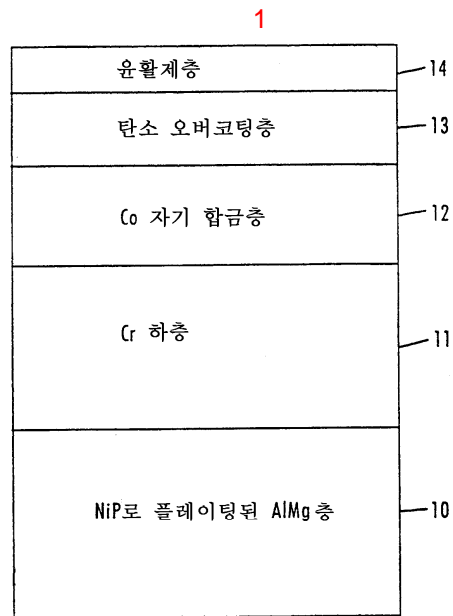
가, 40% 가, 가

가

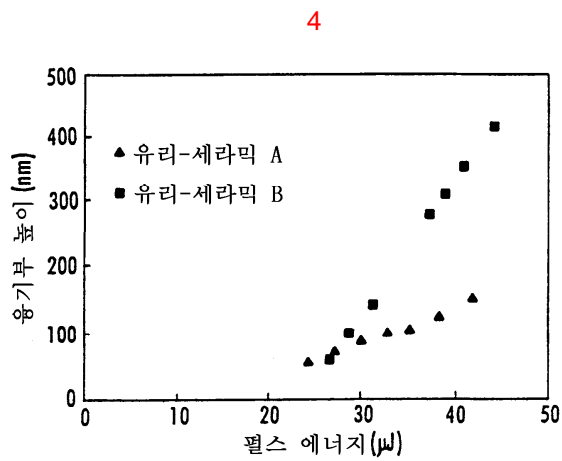
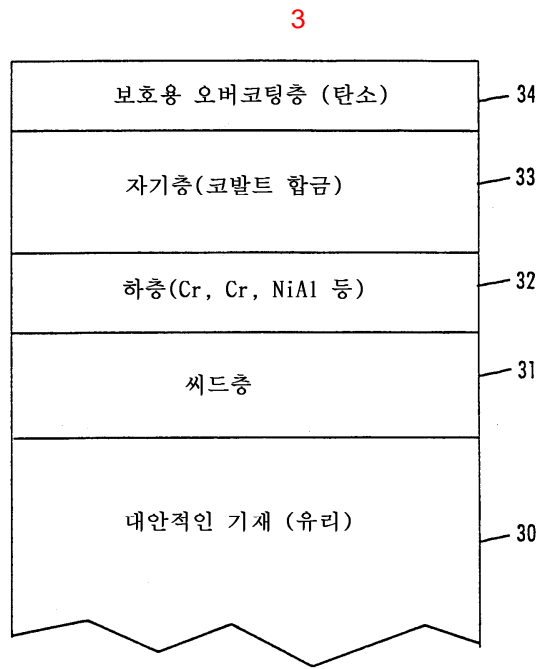
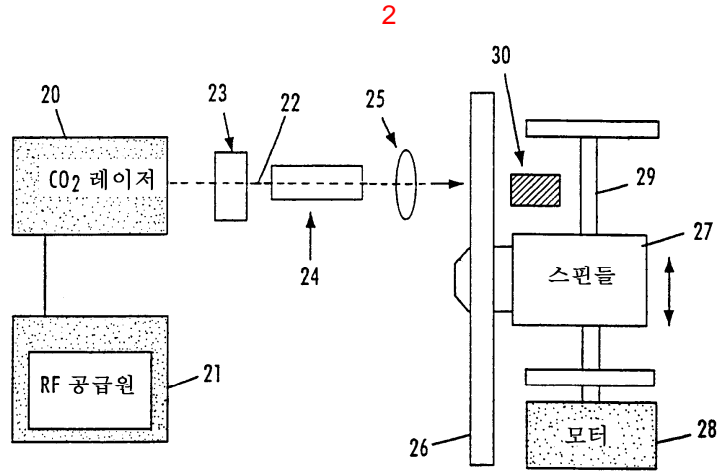
(57)

1. :
2. 70 % ;
- 1 2. , 50 %
- 1 3. 가 2.44g/cc
- 2 4. 가 2.4255g/cc
- 5.
- 6.
- 7.
- 8.
- 9.
- 10.
- 11.
- 12.
- 13.
- 14.
15. :
- 70 %

- 15 16. , - 50 %
- 15 17. , - 2.44g/cc 가
- 18.
- 19.
- 20.
- 가 : - ; ; (secondary crystal)
- 70 % ;
- 20 21. , - 50 %
- 22.
- 20 23. , - 가 2.44g/cc
- 24.
- 25.



중래 기술



5

